

УДК 537.612

© 1990

**ОСОБЕННОСТИ ВЗАИМОДЕЙСТВИЯ  
АКУСТИЧЕСКИХ ВОЛН  
С ИОННОЙ (ПРОТОННОЙ) ПОДСИСТЕМОЙ  
В КРИСТАЛЛАХ  $\text{CsDSO}_4$  и  $\text{CsHSO}_4$**

*Б. В. Щепетильников, А. И. Баранов, Л. А. Шувалов, В. А. Долбинина*

Исследованы температурные зависимости (300—470 К) скорости  $v$  и коэффициента затухания  $\alpha$  упругих волн частотой 20—30 МГц, распространяющихся в  $\text{CsDSO}_4$  и  $\text{CsHSO}_4$ . Обнаружены аномально большие изменения  $v$  и  $\alpha$  при переходе кристаллов в суперионное состояние. Оказалось, что при этих переходах кристаллы  $\text{CsDSO}_4$  и  $\text{CsHSO}_4$  значительно «размягчаются». Поглощение звука в низкопроводящих сегнетоэластических фазах этих кристаллов невелико. За аномально высокое акустическое поглощение в параэластической, суперионной фазе  $\text{CsDSO}_4$  и  $\text{CsHSO}_4$  ответствен механизм Снука. Некоторое увеличение поглощения звука в результате фазового перехода III  $\xrightarrow{333 \text{ K}}$  II происходит из-за микрорастрескивания образца (и его полидоменизации) и описывается механизмом Зинера.

Интенсивное исследование кристаллов  $\text{CsDSO}_4$  и  $\text{CsHSO}_4$  (далее CDS и CHS) обусловлено наличием в них суперионной проводимости в параэластической фазе (фазе I) [1—5]. Сегнетоэластический фазовый переход II  $\rightarrow$  I в CDS и CHS ( $P2_1/C \rightarrow I4_1/amd$ ) 1-го рода [6, 7]. Он происходит соответственно при температурах 412 и 414 К [4, 5]. Этот переход сопровождается разупорядочением ионной (протонной) подсистемы и скачкообразным возрастанием (на  $\sim 4$  порядка) проводимости кристаллов [4, 5]. У кристалла CHS, кроме того, имеется еще один фазовый переход 1-го рода: III  $\rightarrow$  II ( $P2_1/C \xrightarrow{333 \text{ K}} P2_1/C$ ) [4—7].

Акустические исследования кристалла CHS ранее не проводились, за исключением работы [8]. Некоторые данные по поведению продольной звуковой волны частотой 6—12 МГц, распространяющейся в CDS вдоль оси 2-го порядка (оси Y) фазы II, были представлены в [9]. В этой работе обнаружено значительное «размягчение» кристалла при фазовом переходе II  $\rightarrow$  I.

Поэтому, с одной стороны, представляло интерес детально исследовать поведение как продольных, так и поперечных упругих волн в кристаллах CDS и CHS. С другой стороны, можно было ожидать, что в параэластической суперионной фазе CDS и CHS должно проявиться взаимодействие звуковой волны с динамически разупорядоченной ионной (протонной) подсистемой, в то время как в сегнетоэластической фазе, в которой протоны полностью упорядочены, это взаимодействие должно отсутствовать. Таким образом, представлялась возможность для изучения механизма взаимодействия акустических фононов с ионной (протонной) подсистемой в этих кристаллах.

В настоящей работе исследованы температурные зависимости (300—470 К) скорости  $v$  и коэффициента затухания  $\alpha$  упругих волн частотой 20—30 МГц, распространяющихся в монокристаллах CDS и CHS. Предлагается механизм взаимодействия акустических волн с протонной подсистемой в этих кристаллах, позволяющий описать наблюдаемые явления.

# 1. Образцы и методики экспериментов

В работе исследовались монокристаллы CDS и CHS, выращенные методом испарения из водного раствора [1, 2]. Характерные размеры образцов, используемых для измерений:  $4 \times 4 \times 1.0$  мм. Точность ориентации граней образцов по отношению к кристаллофизическим осям кристалла  $\sim 1^\circ$ . Границы образцов подвергались оптической полировки. Отклонение от плоско-параллельности противоположных граней не превышало  $30''$ .

Скорость звука  $v$  и коэффициент затухания  $\alpha$  измерялись в диапазоне частот  $f = 20 \div 30$  МГц при температурах  $300 \div 470$  К на специально созданной акустической установке, работающей по двухбуферной схеме (на прохождение) и позволяющей измерять большие значения  $\alpha$  ( $2 \cdot 10^2 \div 10^4$  Нп/м). Скорость  $v$  измерялась с помощью интерференции прошедшего и опорного импульсов. Погрешность измерения абсолютного значения  $v$  составляла  $\sim 2\%$ , а относительного изменения  $v \sim 0.05\%$ . Коэффициент затухания  $\alpha$  рассчитывался либо исходя из отношения амплитуд прямого и отраженного сигналов ( $\alpha \sim 2 \cdot 10^2 \div 3 \cdot 10^3$  Нп/м), либо по относительному изменению амплитуды прошедшего сигнала ( $\alpha \sim 2.0 \cdot 10^3 \div 10^4$  Нп/м). В последнем случае точность измерения существенно зависела от стабильности акустического контакта между образцом и буферами. Погрешность измерения  $\alpha$  составляла  $\sim (2 \div 5) \cdot 10^2$  Нп/м.

Термостат позволял стабилизировать температуру образцов во время измерения с точностью  $\sim 0.01$  К. Погрешность измерения абсолютной температуры образца не превышала 0.1 К.

## 2. Экспериментальные результаты

Прежде всего отметим, что чистыми акустическими волнами в фазе III CHS и в фазе II CDS и CHS будут продольная и две поперечные, распространяющиеся вдоль оси 2-го порядка (оси  $Y$ ), а также поперечная волна с волновым вектором  $k$ , лежащим в плоскости симметрии кристалла (в плоскости, перпендикулярной оси  $Y$ ), и вектором поляризации  $s$ , перпендикулярным этой плоскости ( $k \parallel Z; s \parallel Y$ ). В фазе I CDS и CHS чистыми будут продольная и вырожденные поперечные волны, распространяющиеся вдоль оси 4-го порядка, продольные и поперечные волны, распространяющиеся вдоль осей 2-го порядка, а также любая сдвиговая волна с волновым вектором, лежащим в плоскости симметрии, и вектором смещения, перпендикулярным этой плоскости. Тензор модулей упругостей  $C_{ij}$  кристаллов CDS и CHS в фазе II (а также CHS в фазе III) имеет 13 (точ. группа  $2/m$ ), а в фазе I (точ. группа  $4/mmm$ ) 6 независимых компонент.

Полученные экспериментальные данные позволили оценить значения некоторых компонент  $C_{ij}$  для CDS. Необходимые для расчетов значения плотности кристалла  $\rho = (3.35 \pm 0.05) \cdot 10^3$  кг/м<sup>3</sup> для фазы II и  $\rho = (3.00 \pm 0.05) \cdot 10^3$  кг/м<sup>3</sup> для фазы I определялись на основании данных работ [6, 7]. Оказалось, что в сегнетоэластической фазе II при 300 К:  $C_{22} = (2.6 \pm 0.2) \times 10^{10}$ ,  $C_{11} = (3.2 \pm 0.2) \cdot 10^{10}$ ,  $C_{33} = (3.0 \pm 0.2) \cdot 10^{10}$ ,  $C_{44} = (8.8 \pm 0.8) \cdot 10^9$ ,  $C_{55} = (5.4 \pm 0.5) \cdot 10^9$ , а при 400 К:  $C_{11} = (2.7 \pm 0.2) \cdot 10^{10}$ ,  $C_{22} = (2.4 \pm 0.2) \times 10^{10}$ ,  $C_{33} = (2.4 \pm 0.2) \cdot 10^{10}$ ,  $C_{44} = (7.4 \pm 0.7) \cdot 10^9$ ,  $C_{55} = (4.7 \pm 0.3) \cdot 10^9$  Н/м<sup>2</sup>. В парапластической (суперионной) фазе при 420 К:  $C_{11} = C_{22} = (1.20 \pm 0.1) \cdot 10^{10}$ ,  $C_{33} = (1.2 \pm 0.1) \cdot 10^{10}$ ,  $C_{44} = C_{55} = (4.0 \pm 0.3) \cdot 10^9$  Н/м<sup>2</sup>. Отметим, что значения компоненты модуля упругости  $C_{66}$  CDS в обеих фазах, по-видимому, близки к соответствующим значениям  $C_{55}$ . Таким образом, из приведенных данных видно, что кристалл CDS при суперионном фазовом переходе существенно «размягчается».

На рис. 1—4 приведены температурные зависимости скорости  $v$  и коэффициента затухания  $\alpha$  акустических волн некоторых мод, распространяющихся в CDS. Видно, что все скорости при фазовом переходе II  $\rightarrow$  I скачком уменьшаются, не обнаруживая существенных аномалий при подходе к  $T_{II-I}$  как со стороны высокосимметричной, так и со стороны низкосимметричной фазы. Главной причиной такого изменения  $v$ ,

на наш взгляд, является уменьшение компонент модуля упругости кристалла (его «размягчение») при фазовом переходе II  $\rightarrow$  I. Определенный вклад в изменение  $v$  вносят также эффекты поворота плоскости поляризации

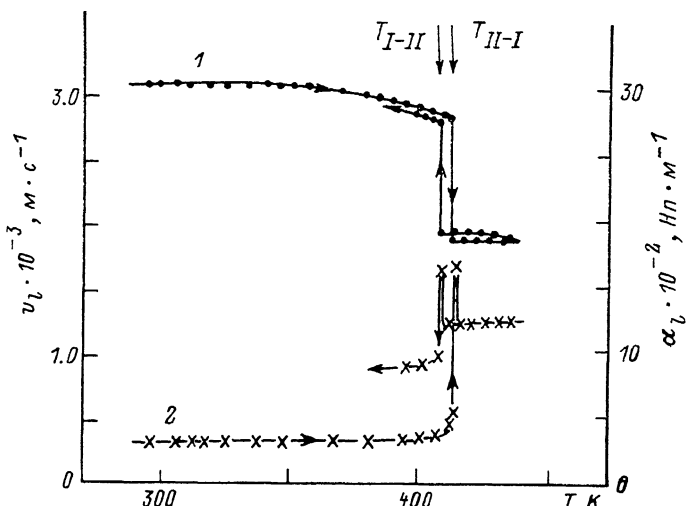


Рис. 1. Температурные зависимости скорости  $v_l$  (1) и коэффициента затухания  $\alpha_l$  (2) квазипродольной акустической волны частотой 25 МГц, распространяющейся в CDS вдоль оси X фазы II.

ции упругой волны и отклонения граней образца от кристаллофизических осей фазы II вследствие деформации образца ( $\Delta\varepsilon_{II\rightarrow I} \sim (3 \div 8) \cdot 10^{-2}$  [?]) при фазовом переходе.

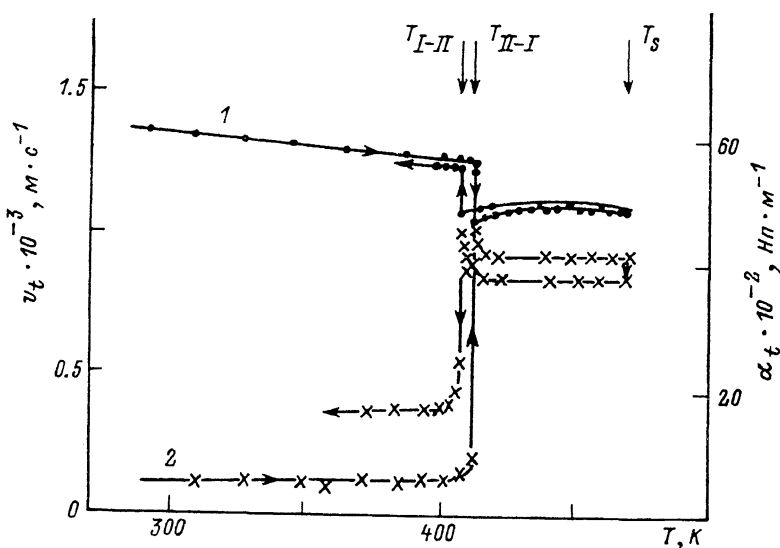


Рис. 2. Температурные зависимости скорости  $v_t$  (1) и коэффициента затухания  $\alpha_t$  (2) квазипоперечной волны частотой 25 МГц, распространяющейся в CDS вдоль оси X фазы II.

Из рис. 1—4 также видно, что значения коэффициентов затухания  $\alpha$  упругих волн, распространяющихся в низкосимметричной фазе CDS, — обычные для диэлектрических кристаллов ( $\alpha \leq 2 \cdot 10^2$  Нп/м). В то же время в суперионной фазе значения  $\alpha$  аномально велики,  $\alpha \sim (2 \div 6) \cdot 10^3$  Нп/м. Амплитуда акустической волны при таких значениях  $\alpha$  на длине волны изменяется на несколько десятков процентов. Отметим также, что возра-

стание  $\alpha$  при  $T_{II \rightarrow I} \sim 412$  К происходит скачком. При подходе к  $T_{II \rightarrow I}$  практически не меняется в обеих фазах. Рис. 1 демонстрирует температурный гистерезис величин  $v$  и  $\alpha$  при суперционном фазовом переходе в CDS. Оказалось, что  $T_{II \rightarrow I} - T_{I \rightarrow II} \sim 4 \div 5$  К. Некоторое «остаточное» значение  $\alpha$ , наблюдаемое после перевода кристалла из фазы II в фазу I и обратно, связано, вероятно, с разбиением кристалла на домены и его микрорастягиванием.

На рис. 2 показано поведение  $v$  и  $\alpha$  при нагревании образца CDS до температуры поверхности плавления  $T_s \approx 468$  К (явление, обнаружено в [10]). При температуре несколько выше  $T_s$  акустический контакт между образцом и акустическими буферами существенно нарушается (особенно для сдвиговых волн), а при последующем охлаждении ниже  $T_s$  восстанавливается.

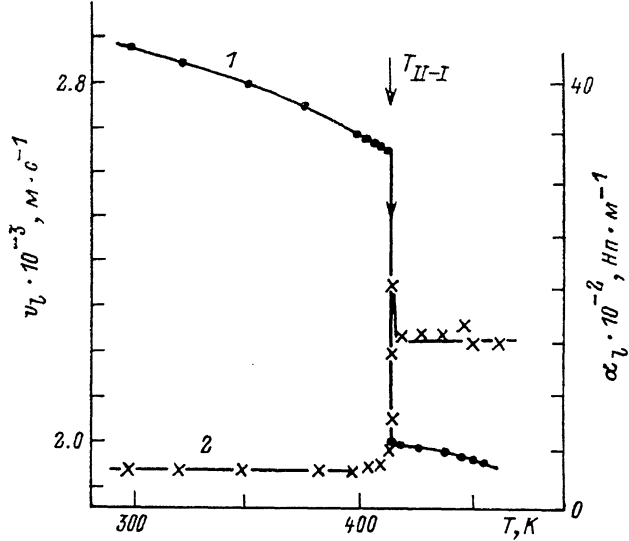


Рис. 3. Температурные зависимости скорости  $v_1$  (1) и коэффициента затухания  $\alpha_1$  (2) квазипродольной акустической волны частоты 25 МГц, распространяющейся в CDS вдоль оси Z фазы II.

ется (становится даже несколько лучше первоначального), что проявляется в соответствующем изменении амплитуды акустического сигнала. Рис. 3 демонстрирует тот факт, что ось Z фазы II CDS в фазе I достаточно близка по направлению (с точностью до  $\sim 9^\circ$ ) к оси 4-го порядка кристалла. Видно, что скорости и коэффициенты затухания обеих поперечных волн, распространяющихся вдоль этой оси, в фазе I с точностью до ошибки эксперимента совпадают, в то же время в фазе II эти значения сильно различаются.

На рис. 5 представлены результаты температурных измерений  $v$  и  $\alpha$  квазипродольной упругой волны, распространяющейся в CHS в направлении, перпендикулярном плоскости спайности фазы III. Видно, что при температуре  $T_{III \rightarrow II} \approx 333$  К происходит скачкообразное возрастание скорости упругой волны, при этом коэффициент затухания  $\alpha$  также возрастает. Последнее связано, на наш взгляд, с микрорастягиванием образца и возникновением в нем разориентированных блоков при переходе III  $\rightarrow$  II, о чем свидетельствует также наблюдаемое при этом некоторое нарушение акустического контакта между образцом и акустическими буферами. Характер изменений  $v$  и  $\alpha$  при переходе CHS из фазы II в I, имеющий место при температуре  $T_{II \rightarrow I} \approx 414$  К, практически ничем не отличается от аналогичных изменений в CDS (рис. 1), так как переход II  $\rightarrow$  I в CHS изоморfen переходу II  $\rightarrow$  I в CDS.

В заключение данного раздела укажем, что в работе [11] в рамках феноменологической теории Ландау проведен теоретический расчет скачков компонент  $C_{ij}$  — модулей статической упругости кристалла при не-

собственном фазовом переходе  $P2_1/C \rightarrow I4_1/AMD$ . Качественно результаты этой работы согласуются с полученными в настоящей работе экспериментальными данными. Однако из-за того, что по ряду причин нам не удалось получить всех значений  $C_{ij}$  в фазах I и II, количественно проверить правомерность применимости изложенной в [11] теории к кристаллу CDS (CHS) не представилось возможным. Какие-либо данные о возможном механизме поглощения упругих волн в суперионной фазе CDS (CHS) в литературе, к сожалению, пока отсутствуют, за исключением работы [12]. Тем не менее

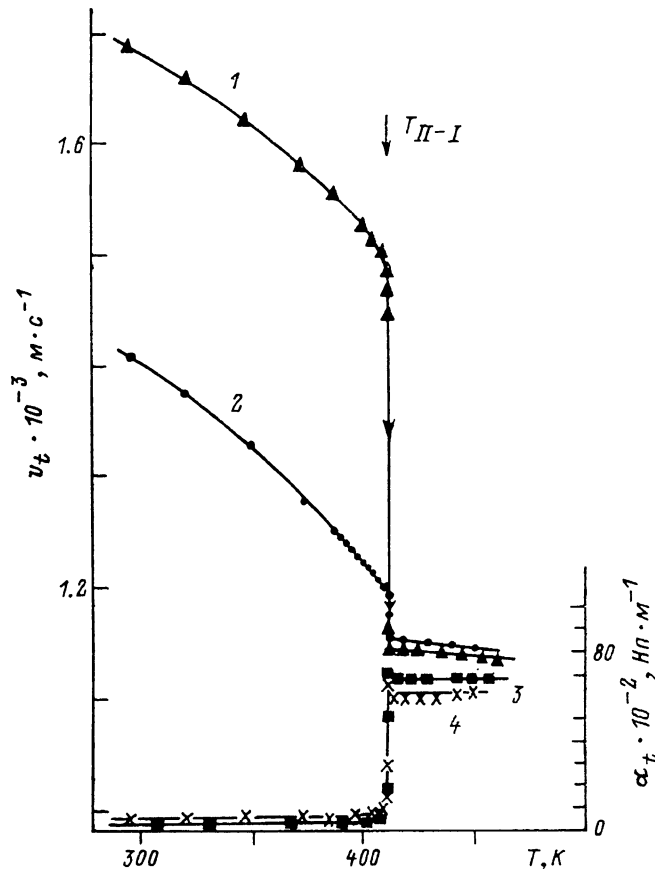


Рис. 4. Температурные зависимости скоростей  $v_t$  (1, 2) и коэффициентов затухания  $\alpha_t$  (3, 4) квазипоперечных акустических волн частотой 25 МГц, распространяющихся в CDS вдоль оси Z фазы II.

1, 4 — вектор поляризации волны  $z$  параллелен оси  $z$  фазы II; 2, 3 — вектор поляризации волны  $z$  параллелен оси  $X$  фазы II.

представляется достаточно убедительным, что наблюдаемые в эксперименте аномалии  $\alpha$  обусловлены главным образом взаимодействием акустической волны с динамически разупорядоченной протонной подсистемой в CDS и CHS.

### 3. Обсуждение результатов

Приступая к выяснению механизма наблюдаемых аномалий коэффициентов затухания звука в CDS и CHS, заметим, что эти аномалии не могут быть обусловлены релаксацией параметра порядка (Ландау—Халатников [13]) и его флуктуациями (Левонюк [14]), так как фазовые переходы II—I в этих кристаллах существенно 1-го рода. Нам представлялось, что причинами аномально больших значений коэффициентов затухания звука в суперионной фазе CDS и CHS могут быть следующие механизмы.

1. Механизм Зинера. Этот механизм ответствен обычно за поглощение звука в поликристаллах и керамиках и обусловлен особыми

условиями процесса теплопереноса на границах кристаллитов (блоков, сегнетоэластических доменов и т. п.). Согласно Зинеру [15], при

$$\gamma/a^2 \ll \omega \ll v/a \quad (1)$$

коэффициент затухания упругой волны

$$\alpha \sim \frac{T \alpha_T^2 \rho v}{a C} \sqrt{\chi \omega}. \quad (2)$$

Здесь  $a$  — характерный размер кристаллита (блока);  $\alpha_T$  — коэффициент теплового расширения кристалла;  $C$ ,  $\chi$  — соответственно его теплоемкость и температуропроводимость;  $\omega = 2\pi f$  — круговая частота звука. Полагая в (1) и (2)  $\alpha_T \sim 10^{-4} \text{ К}^{-1}$  [16],  $\rho \sim 3.3 \cdot 10^3 \text{ кг/м}^3$  [6, 7],  $v \sim 2 \cdot 10^8 \text{ м/с}$ ,

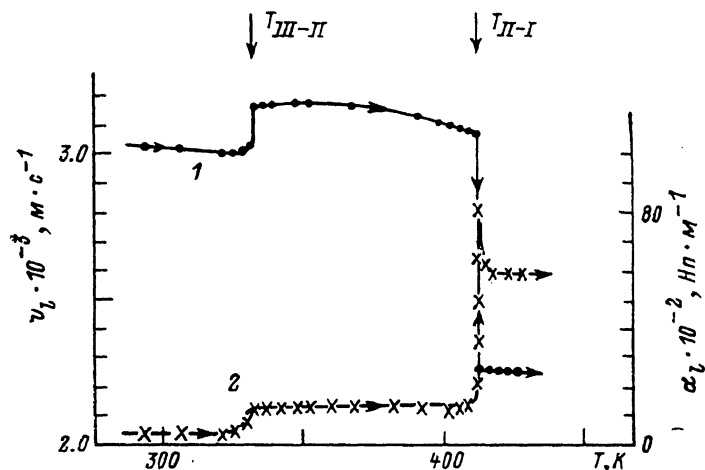


Рис. 5. Температурные зависимости скорости  $v_L$  (1) и коэффициента затухания  $\alpha_L$  (2) квазипродольной акустической волны частотой 25 МГц, распространяющейся перпендикулярно плоскости спайности CHS фазы III.

$a \sim 5 \cdot 10^{-6} \text{ м}$ ,  $f \sim 2.5 \cdot 10^7 \text{ с}^{-1}$ ,  $T \sim 400 \text{ К}$ , а также принимая, что  $\chi \sim 5 \cdot 10^{-6} \text{ м}^2/\text{с}$  и  $C \sim 2 \cdot 10^5 \text{ Дж/м}^3 \cdot \text{К}$  (характерные значения для ионных кристаллов с комплексными анионами [17]), получим оценку  $\alpha \sim 4 \times 10^2 \text{ Нп/м}$ . Заметим, что соотношение (1) при этом выполняется. Согласно [18], в образцах размером более  $10^{-3} \text{ м}$  в суперионной фазе наблюдаются блоки различной ориентации, однако их характерный размер  $a \sim 10^{-4} \div 10^{-5} \text{ м}$ . Таким образом, механизм Зинера вносит относительно небольшой вклад в реально наблюдаемые в суперионной фазе CDS (CHS) значения  $\alpha$ . Этот механизм, а также механизм, обусловленный рассеянием звуковых волн на границах блоков, по-видимому, ответственны за возрастание  $\alpha$ , наблюдаемое в CHS в фазе II (рис. 5), так как при фазовом переходе III  $\rightarrow$  II происходит микрорастескивание и образование блоков в образце. Эти же механизмы обусловливают, на наш взгляд, явление «остаточного» затухания в CDS в результате перевода кристалла из фазы II в фазу I и обратно (рис. 1, 2), так как при этом происходит полидоменизация образца и его микрорастескивание.

2. Механизм поглощения упругой волны, обусловленный взаимодействием акустической волны с подвижными носителями в неполярных кристаллах посредством деформационного потенциала. Этот механизм аналогичен механизму Горского [19, 20], предложенному для гидридов металлов. При этом механизме деформация кристалла  $\epsilon$  обусловлена как внешним механическим напряжением  $\sigma$ , так и отклонением концентрации  $n$  подвижных носителей (протонов) от некоторой средней  $\bar{n}$

$$\epsilon = \sigma/C + a(n - \bar{n}) \quad (3)$$

Здесь  $C$  — модуль мгновенной упругости кристалла,  $a$  — феноменологическая константа.

Поток  $J$  протонов, которые при этом механизме могут свободно мигрировать по кристаллу, определяется градиентом деформации и градиентом концентрации протонов (т. е. градиентом их химического потенциала), а также электростатическим полем, возникающим в кристалле вследствие пространственной модуляции величины  $n$  акустической волной

$$J = n\mu b \frac{\partial \epsilon}{\partial x} - D_d \frac{\partial n}{\partial x} + n\mu E, \quad (4)$$

где  $\mu$ ,  $D_d$  — подвижность и коэффициент диффузии протонов;  $E$  — напряженность электрического поля;  $b$  — феноменологическая постоянная;  $x$  — координата.

Кроме того, можно написать уравнения сохранения протонов, уравнение Пуассона, а также уравнение движения

$$\frac{\partial n}{\partial t} = -\frac{\partial J}{\partial x}, \quad \frac{\partial D}{\partial x} = q(n - \bar{n}), \quad (5), (6)$$

$$D = \kappa E, \quad \frac{\partial^2 \sigma}{\partial x^2} = \rho (\frac{\partial^2 \epsilon}{\partial t^2}), \quad (7), (8)$$

где  $D$  — электрическая индукция,  $q$  — заряд протона,  $\kappa = \epsilon \epsilon_0$  — абсолютная диэлектрическая проницаемость кристалла,  $t$  — текущее время. Из (3)–(8) при выполнении условий

$$\omega \ll v_0^2/D_d, \quad \omega \gg \bar{n}\mu q/\kappa, \quad (9), (10)$$

т. е. в случае возможности пренебрежения соответственно вторым и третьим членами в (4), получим

$$a = ab\bar{n}\mu\omega^2/2v^3, \quad (11)$$

$$v = v_0 (1 - a^2 v_0^2 / \omega^2)^{-1/2}. \quad (12)$$

Подставляя в (11) и (12) значения  $\bar{n} \sim 10^{28}$  м<sup>-3</sup> [7],  $\omega \sim 1.5 \cdot 10^8$  с<sup>-1</sup>,  $\epsilon \sim 10$  [5],  $\mu \sim 10^{-11}$  м<sup>2</sup>/В·с [5], а также  $a \sim 10^{-28}$  м<sup>3</sup> и  $b \sim 10$  В, получим оценки значения  $a$  и изменения величины  $v$ , обусловленные данным механизмом, при переходе CDS в суперионное состояние:  $a \sim 10^{-3}$  Нп/м,  $(v - v_0)/v_0 \sim 10^{-4}$ , что значительно меньше наблюдаемых в эксперименте ( $a \sim (2 \div 6) \cdot 10^3$  Нп/м,  $(v - v_0)/v_0 \sim 0.1 \div 0.5$ ). Условия (9) и (10) при этом выполняются. Феноменологические постоянные  $a$  и  $b$  были оценены соответственно из условий (3) и (4):  $a\bar{n} \sim 1$ ,  $b/d \sim 10^{10}$  В/м, где  $d \sim 10^{-9}$  м — характерный размер элементарной ячейки кристалла.

Таким образом, механизм взаимодействия акустической волны с протонной подсистемой через деформационный потенциал практически не вносит сколь-нибудь ощутимого вклада в затухание упругой волны, распространяющейся в CDS и CHS.

**З. Механизм поглощения звука, основанный на эффекте Снукера.** Пусть в элементарной ячейке кристалла имеется ряд энергетически эквивалентных позиций, которые могут занимать протоны (или другие ионы, атомы), причем число таких позиций больше числа протонов (ионов, атомов). Тогда в отсутствие деформации кристалла имеется некоторое равновесное распределение протонов по позициям. Если теперь к такому кристаллу приложить внешнее однородное механическое напряжение  $\sigma$ , то под действием  $\sigma$  кристалл «мгновенно» приобретает деформацию  $\epsilon_{\text{мгнов}} = \sigma/C$  ( $C$  — модуль мгновенной упругости кристалла). При определенной симметрии позиций протонов в кристалле под действием однородной деформации  $\epsilon_{\text{мгнов}}$  в каждой элементарной ячейке будет происходить переход протонов из одних позиций в другие.

Так как деформация такого кристалла, как можно показать, определяется не только внешним механическим напряжением  $\sigma$ , но и распределением протонов по позициям, то в результате таких переходов кристалл приобретает дополнительную деформацию, запаздывающую во времени (неупругая деформация). Равновесное значение этой дополнительной де-

формации  $\varepsilon_a$ , согласно Снуку [20],<sup>1</sup> равно  $an'\sigma/C$ , а полной  $(an'+1)\sigma/C$  ( $n'$  — концентрация протонов, участвующих в процессах перескоков;  $a$  — некоторая феноменологическая постоянная, характеризующая взаимодействие этих протонов с кристаллической решеткой).

Скорость установления нового равновесного распределения протонов по позициям (и, следовательно, скорость установления равновесного значения  $\varepsilon_a$ ) определяется временем перескока протонов из одной позиции в другую

$$\tau \sim (1/v_0) e^{-U_0/kT}. \quad (13)$$

Здесь  $v_0$  — частота колебаний протонов;  $U_0$  — высота энергетического барьера, который необходимо преодолеть протону для его перехода из одной позиции в другую;  $k$  — постоянная Больцмана;  $T$  — абсолютная температура.

Так как скорость изменения неупругой деформации  $\dot{\varepsilon} = \dot{\sigma}/C$  пропорциональна величине ее отклонения от равновесного значения  $\varepsilon - (an' + 1)\sigma/C$ , то в общем случае можно написать

$$\frac{d}{dt} \left( \varepsilon - \frac{\sigma}{C} \right) = -\frac{1}{\tau} \left[ \varepsilon - \frac{(an' + 1)\sigma}{C} \right]. \quad (14)$$

Здесь  $\sigma, \varepsilon, t$  — текущие значения механического напряжения, деформации кристалла и времени. Решение уравнений (13), (14) совместно с уравнением движения

$$\partial^2 \sigma / \partial x^2 = \rho (\partial^2 \varepsilon / \partial t^2) \quad (15)$$

дает<sup>2</sup>

$$\alpha = \frac{an' \omega^2 c}{[1 + (\omega \tau)^2] v_0} \sqrt{\frac{1 + (\omega \tau)^2}{(a + 1) + (\omega \tau)^2}}, \quad (16)$$

$$v = v_0 \sqrt{[1 + (\omega \tau)^2]/[(a + 1) + (\omega \tau)^2]}, \quad (17)$$

где  $v_0 = \sqrt{C/\rho}$ ,  $\rho$  — плотность кристалла. Подставив в (13), (16), (17) значения  $\omega \sim 2.5 \cdot 10^7 \text{ с}^{-1}$ ,  $v_0 \sim 5 \cdot 10^{11} \text{ см}^{-1}$  и полагая, что  $an' \sim a\bar{n} \sim 0.2$ ,  $U_0^I \sim 0.29 \text{ эВ}$  для фазы I и  $an' \ll a\bar{n}$ ,  $U_0^{II} \sim 1.2 \text{ эВ}$  для фазы II CDS, получим хорошее согласие с экспериментом (рис. 6). Здесь  $\bar{n} \sim 10^{28} \text{ м}^{-3}$  [7] — концентрация протонов в CDS. Значения  $U_0^I$  и  $U_0^{II}$  взяты из измерений проводимости CDS [6], так как из структуры CDS [6, 7] следует, что высоты барьеров, которые необходимо преодолеть протонам при их переходе из одной позиции в ближайшую, находящуюся в той же ячейке и в соседней, совпадают. При расчете по формулам (13), (16), (17) учитывалась также линейная температурная зависимость величины  $C$ . Значение  $v_0 \sim 5 \times 10^{11} \text{ см}^{-1}$  хорошо согласуется со значением  $v_0 \sim 5 \cdot 10^{11} \text{ см}^{-1}$ , рассчитанным из данных по проводимости CDS [6], и несколько меньше полученного из экспериментов по рамановскому рассеянию [21]. Последнее обстоятельство, по-видимому, связано с тем, что при расчете коэффициента затухания  $\alpha$  в настоящей статье и проводимости  $G$  в [6] не учитывались энтропийный фактор, а также то, что переход протона у одной позиции в другую сопровождается переориентацией  $\text{SO}_4^-$  групп.

Следует отметить, что рассмотренный механизм в силу симметрии задачи не дает вклада в затухание продольной акустической волны, распространяющейся в фазе I CDS строго вдоль оси 4-го порядка (оси Z). Поэтому скачок затухания продольной упругой волны, распространяющейся в CDS вдоль оси Z фазы II, наблюдаемый в эксперименте при переходе кристалла из фазы II в фазу I (рис. 3), обусловлен отклонением оси Z фазы II при этом переходе примерно на  $9^\circ$ , а также разбиением кристалла на блоки. Этот скачок существенно меньше соответствующего скачка  $\alpha$ , наблюдавшегося у сдвиговых волн, распространяющихся в том же направлении.

<sup>1</sup> Снук описал данный механизм несколько иным способом, рассматривая перераспределение атомов углерода в сталях под действием однородной деформации.

<sup>2</sup> Отметим, что в [12] дано более точное (чем механизм Снука) теоретическое описание акустических аномалий CDS (CHS)

нии (рис. 4). Заметим также, что если поглощение звука в суперционной фазе CDS (CHS) практически полностью определяется механизмом Снука, то в изменения компонент тензора упругости при фазовом переходе II → I, по-видимому, вносит существенный вклад результат, полученный в [11].

В заключение данного раздела следует указать на некоторую общность 2-го и 3-го механизмов поглощения звука. В обоих механизмах под влиянием волны деформации меняются энергетические уровни протонов, вследствие чего нарушается равновесие протонной подсистемы. Восстановление этого равновесия и приводит к диссипации механической энергии. В то же время имеется значительное расхождение (на ~6–7 порядков)

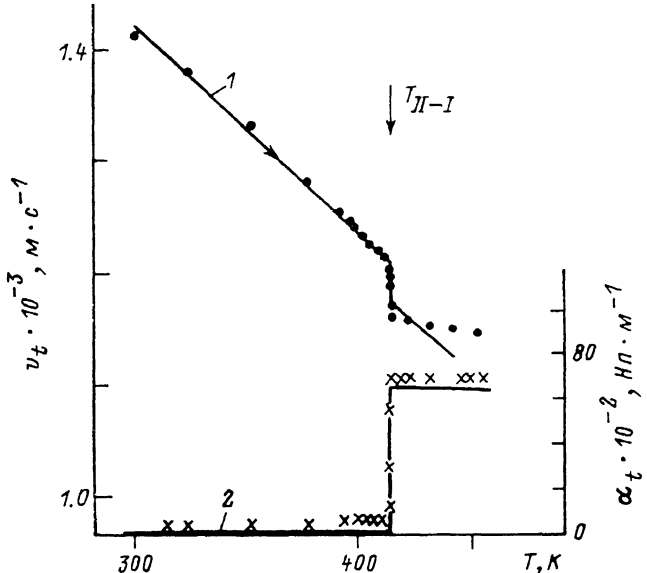


Рис. 6. Сравнение температурных зависимостей скорости  $V_t$  (1) и коэффициента затухания  $\alpha_t$  (2) квазипоперечной упругой волны частотой 25 МГц, распространяющейся в CDS вдоль оси Z фазы II (вектор поляризации параллелен оси X фазы II), полученных экспериментально (точки) и рассчитанных по формулам (14), (16), (17) (сплошные кривые).

в значениях коэффициентов затухания упругой волны, даваемое этими механизмами. Последнее связано с тем, что в механизме 2 характерные изменения энергетических уровней протонов происходят на длине  $\sim \lambda/2$  ( $\lambda$  — длина звуковой волны), а в механизме 3 на длине  $\sim d/2 \ll \lambda/2$  ( $d$  — период кристаллической решетки).

Таким образом, при фазовом переходе II → I кристалл CDS (CHS) значительно «размягчается». Поглощение звука в CDS в сегнетоэластической фазе невелико. За аномально высокое акустическое поглощение в параэластической суперционной фазе CDS (CHS) ответственно перераспределение протонов в поле звуковой волны. Некоторое увеличение поглощения звука в фазе II CHS происходит из-за микрорастяжения образца в результате фазового перехода III → II и может быть описано механизмом Зинера.

#### Список литературы

- [1] Баранов А. И., Шувалов Л. А., Шагина Н. М. // Письма в ЖЭТФ. 1982. Т. 36. № 11. С. 381–384.
- [2] Баранов А. И., Шувалов Л. А., Шагина Н. М. // Кристаллография. 1984. Т. 29. № 6. С. 2513–2516.
- [3] Blinc R., Dolinsok J., Lanajnav G., Zupancic I., Shuvalov L. A., Baranov A. I. // Phys. St. Sol. 1984. V. 123 (b). P. K83–K87.
- [4] Баранов А. И. // Изв. АН СССР, сер. физ. 1987. Т. 51. № 12. С. 2146–2155.
- [5] Трегубченко А. В. // Автореф. канд. дис. М., 1988. С. 18.
- [6] Меринов Б. В., Баранов А. И., Максимов Б. А., Шувалов Л. А. // Кристаллография. 1986. Т. 31. № 3. С. 450–454.

- [7] Меринов Б. В., Барапов А. И., Шувалов Л. А., Максимов Б. А. // Кристаллография. 1987. Т. 32. № 1. С. 86—92.
- [8] Щепетильников Б. В., Барапов А. И., Шагина Н. М. // Тез. докл. Всес. конф. «Сегнетоэластики». Днепропетровск, 1988. С. 233—235.
- [9] Mizeris R., Grigas J., Samulionis V., Skritski V., Baranov A. I., Shuvalov L. A. // Phys. St. Sol. 1988. V. 110 (a). P. 429—436.
- [10] Барапов А. И., Синицын В. В., Понятовский Е. Г., Шувалов Л. А. // Письма в ЖЭТФ. 1986. Т. 44. № 4. С. 186—189.
- [11] Плакида Н. М., Шахматов В. С. // Изв. АН СССР, сер. физ. 1987. Т. 51. № 12. С. 2107—2112.
- [12] Щепетильников Б. В. // Тез. докл. Всес. конф. «Сегнетоэластики». Днепропетровск, 1988. С. 51—53.
- [13] Ландау Л. Д., Халатников И. М. // ДАН СССР. 1954. Т. 96. С. 469—474.
- [14] Левонюк А. П. // ЖЭТФ. 1965. Т. 49. С. 1304—1314.
- [15] Ландау Л. Д., Лифшиц Е. М. Теория упругости. М.: Наука, 1965. 204 с.
- [16] Дилянян Р. А., Шехтман В. Ш. // Препринт Ин-та Физ. тв. тела АН СССР. Черноголовка, 1988. 17 с.
- [17] Блистанов А. А., Бондаренко В. С., Переломова Н. В., Стрижевская Ф. Н., Чкалова В. В., Шаскольская М. П. Акустические кристаллы. М.: Наука, 1982. 432 с.
- [18] Барапов А. И., Трегубченко А. В. // Тез. докл. Всес. конф. «Сегнетоэластики». Днепропетровск, 1988. С. 220—221.
- [19] Alefeld G., Völkl J., Schumann G. // Phys. St. Sol. 1970. V. 37. P. 337—351.
- [20] Келли А., Гровс Г. Кристаллография и дефекты в кристаллах. М.: Мир, 1974. 496 с.
- [21] Дмитриев В. П., Лошкарев В. В., Рабкин Л. М., Шувалов Л. А., Юзюк Ю. И. // Кристаллография. 1986. Т. 31. № 6. С. 1138—1144.

Институт кристаллографии АН СССР  
Москва

Поступило в Редакцию  
28 апреля 1989 г.  
В окончательной редакции  
31 августа 1989 г.